

“새바다號”의 操縱性能에 關한 研究

金 基 允*

MANOEUVRABILITIES OF THE M. S. "SAEBADA"

Ki Yun KIM*

The manoeuvrabilities of a ship are decided by the values of her manoeuvring indices. The manoeuvring indices consist of two kinds: indices K and T. The former decides a ship's turning ability and the latter, the length of time delay to a steady turning motion after her rudder has finished the turn of an ordered angle. In this paper, the author figured out the values of the manoeuvring indices of the m. s. "SAEBADA" (GT: 2,275.7 ton), the training ship of the National Fisheries University of Busan through her Z test and analyzed these values and the other data which were obtained from her Z test to study her manoeuvrabilities.

The results obtained are summarized as follows:

1. The manoeuvring indices K' of the m. s. "SAEBADA" were 1.052(at 10° Z test), 0.925(at 20° Z test) and 0.877(at 30° Z test). Her manoeuvring indices T' were 0.815(at 10° Z test), 0.502(at 20° Z test) and 0.441(at 30° Z test).

Her above calculated values K' , T' showed that her obeying ability to the turn of her rudder was more increased when her rudder was used to large angle than to small angle, but on the other hand in this case her turning ability was slightly reduced.

2. As it appeared that the calculated K' -values of the m.s. "SAEBADA" were slightly smaller than the standard K' -values of the fishing boats similar in length, and her overshoot angles at her Z test were greater than other general ships, her turning ability was found to be slightly lower.

3. When the m. s. "SAEBADA" took a turn at her 10° Z test, running distance was about 8.6 times her own length and didn't exceed the standard manoeuvrability distance, 5 to 11 times general ships' own length, therefore she was considered to have a good manoeuvrability synthetically.

緒 言

船体의 操縱性能이란 舵角을 주었을 때 船体가 어떤 回頭運動을 하는가를 만하여 一般的으로는 最大舵角을 주었을 때 船体가 그리는 旋回圈에 대한 徑距, 旋回徑等을 船体의 操縱性能으로 表示하고 있다.

그리나 이러한 旋回圈에 의한 操縱性能의 表示

方法은 오늘날에는 適切한 것이 못되고 있다. 왜냐하면 첫째로 現在에는 船体가 經濟的인 側面에서 大型化 되어가고 있으며, 大型化됨에 따라 船体의 強度 및 可航水域問題 때문에 L/B가 커지고 B/D는 커지게 되었으며 이것들이 船体의 方向安定性과 旋回性에 難多한 影響을 주게되어 操船者は 旋回圈만을 가지고 한 船体의 操縱性能을 推察할 수 없게 되었다. 둘째로 大小難多한 船舶의 往來가 複雜 狹

* 釜山水產大學, National Fisheries University of Busan

金 某 允

水道, 航路, 港界 및 港内에서 船舶相互間의 衝突을
避하면서 온마른 進路로의 進入, 또는 離脱等은 效
果의으로 進行하기 위해서는 操船者は 自己가 指揮
하는 船体의 運動을 時間과 空間의 兩面에서 把握하
고 있지 않으면 안된다. 따라서 自船에 對한 이리한
操縱性能의 量的把握은 旋回圈을 利用하는 方法으로
는 여기에 時間의 要素가 表示되어 있지 않기 때
문에 不可能하게 된다.

그리고 最近에는 操縱性能의 새로운 表現方法으
로 한 船舶의 針路安定性이나 旋回性的 良否를 그
船舶의 固有한 數值인 操縱性指數의 大小에 依하여
判別하는 方法을 利用하게 되었다. 船舶의 操縱性指
數를 利用한 操縱性能에 關한 研究로는 野木(1964),

藤井・野木(1972), 藤田(1972), 井(1976), 金(1978)
등의 研究報告가 있다.

本論文에서 著者は 釜山水產大學 實習船 “세마다
號”(GT: 2,275.71ton)의 操縱性能을 研究하기 위하여,
實船Z試驗을 하여 操縱性指數를 算出하고 이를
分析檢討하였다.

資料 및 方法

資料

(1) “세마다”號의 要目(Table 1과 같음)

Table 1. Principal items of “SAEBADA”

L.O.A	B. Md	D. Md	G/T	M.E	Speed	R.P.M. (P)
81.63m	13.60m	9.20m	2,275.71ton	3600H.P.	12kt.	235

(2) 試驗日字 및 場所

1979年 9月 4日 釜山外港

(3) 試驗當時의 船舶狀態 및 氣象條件(Table 2와
같음)

Table 2. Situation of “SAEBADA” and meteorologic conditions at test

d_f	d_a	Disp.	Visibility	Wind Direction	Wind Force	Effect at Sea
3.20m	5.60m	1,933ton	Good	200°	1	Light air

試驗方法

實船에 依한 Z試驗을 하기 위하여 “세마다”號의
操舵室에 研究補助員 6名을 励員하여 1名은 定한 信
號에 따라서 船를 左右로 잡아 所定의 舵角에 이르
도록 操舵命令을 下하였으며, 1名은 stop watch
를 가지고 처음 操舵命令를 내린 時刻부터 5秒 時間
間隔으로 時刻를 읽도록 하였다. 한편 1名은 course
recorder에 配置하여 船首方位를 읽도록 하고 2名은
미리 마련된 用紙에 각時刻에 맞추어 船首方位를 記
錄도록 하였다. 나머지 1名은 船首方位와 舵角을 比
較하여 舵角과 船首方位가 같아질 때 信號를 하면서
主要時點의 舵角, 船首方位 및 時間을 記錄도록 하

있다. 이렇게하여 筆者の 總體의 指揮下에 任意
Co.에 對한 全速前進의 10°, 20° 및 30°의 Z試驗을
하였다.

結 果

1. “세마다”號 Z試驗에서 求한 數值資料
및 圖表

(1) 10° Z試驗(速力: 10kt, 相對風向: 右舷, Co.:
150°, R.P.M. (P): 235, 左舷 차음)

各時點에 對한 船首方位 및 主要時點의 時間은
Table 3과 같다.

Table 3. Ship's heading at each time and time interval at principal time point (10° Z
test of the m.s. “SAEBADA”)

t :	5	10	15	20	25	30	35	40	45	50	55
S.H :	149	147	146	143	138	135	133	134	134	135	136
t * :	60	65	70	75	80	85	90	95	100	105	110
S.H :	138	140	141	144	147	148	151	154	156	159	162
t :	115	120	125	130	135	140	145	150	155	160	165
S.H :	165	165	165	163	161	158	156	151	147	143	138

“새바다”號의 採綫性能에 關한 研究

t :	170	175	180	185	190	195	200	205	210	215	220
S.H :	135	133	133	133	134	135	137	140	143	144	147
t :	225	230	235	240	245	250	255	260	265	270	280
S.H :	140	151	155	154	160	161	165	165	164	162	159
t :	285	290									
S.H :	153	149									
P.t.P :	t_1	t_2	t_3	t_4	t_5	t_6	t_7	t_8	t_9	t_{10}	t_{11}
t.i :	8	24	28	32	40	88	107	113	115	120	151
P.t.P :	t_{14}	t_{15}	t_{16}	t_{27}	t_{18}	t_{19}	t_{20}				
t.i :	171	180	227	246	257	260	290				

(2) $20^\circ Z$ 試験(諸般條件 $10^\circ Z$ 試験때와 같음) 各時點에 對한 船首方位 및 主要時點의 時間은 Table 4와 같다.

Table 4. Ship's heading at each time and time interval at principal time point ($20^\circ Z$ test of the m.s. "SAEBADA")

t :	5	10	15	20	25	30	35	40	45	50	55	60
S.H :	150	149	147	143	138	136	125	120	117	118	119	123
t :	65	70	75	80	85	90	95	100	105	110	115	120
S.H :	128	132	137	143	146	152	158	162	168	174	179	183
t :	125	130	135	140	145	150	155	160	165	170	175	180
S.H :	185	185	179	178	175	170	162	155	150	141	135	127
t :	185	190	195	200	205	210	215	220	225	230	235	240
S.H :	122	118	117	119	122	125	130	134	139	145	150	157
t :	245	250	255	260	265	270	275	280	285	290	295	300
S.H :	161	167	173	177	181	185	185	184	180	176	170	165
t :	305	310										
S.H :	156	150										
P.t.P :	t_1	t_2	t_3	t_4	t_5	t_6	t_7	t_8	t_9	t_{10}	t_{11}	t_{12}
t.i :	19	32	39	45	46	88	108	121	125	135	165	179
P.t.P :	t_{13}	t_{14}	t_{15}	t_{16}	t_{17}	t_{18}	t_{19}	t_{20}	t_{21}			
t.i :	186	192	195	325	254	266	275	279	310			

(3) $30^\circ Z$ 試験(諸般條件 $10^\circ Z$ 試験때와 같음) 各時點에 對한 船首方位 및 主要時點의 時間은 Table 5와 같다.

Table 5. Ship's heading at each time and time interval at principal time point ($30^\circ Z$ test of the ms. "SAEBADA")

t :	5	10	15	20	25	30	35	40	45	50	55	60
S.H :	150	149	147	142	155	127	118	110	104	100	100	102
t :	65	70	75	80	85	90	95	100	105	110	115	120
S.H :	106	112	119	127	135	143	149	157	165	172	179	186
t :	125	130	135	140	145	150	155	160	165	170	175	180
S.H :	193	198	203	205	207	205	201	197	189	181	172	165
t :	185	190	195	200	205	210	215	220	225	230	235	240
S.H :	156	148	141	132	125	118	110	106	104	105	100	111
t :	245	250	255	260	205	270	275	280	285	290	295	300
S.H :	117	124	129	137	144	151	159	165	174	180	187	194
t :	305	310	315	320	325	330	335	340	345	350		
S.H :	199	203	206	206	206	202	195	190	182	174		
t :	355	360	365									
S.H :	165	156	147									
P.t.P :	t_1	t_2	t_3	t_4	t_5	t_6	t_7	t_8	t_9	t_{10}	t_{11}	t_{12}
t.i :	24	34	44	50	54	96	116	135	145	155	189	208
P.t.P :	t_{13}	t_{14}	t_{15}	t_{16}	t_{17}	t_{18}	t_{19}	t_{20}	t_{21}			
t.i :	218	225	228	269	291	310	320	330	364			

Table 3, 4, 5에 對한 數值을 그림으로 나타내면 Fig. 1, 2, 3과 같다.

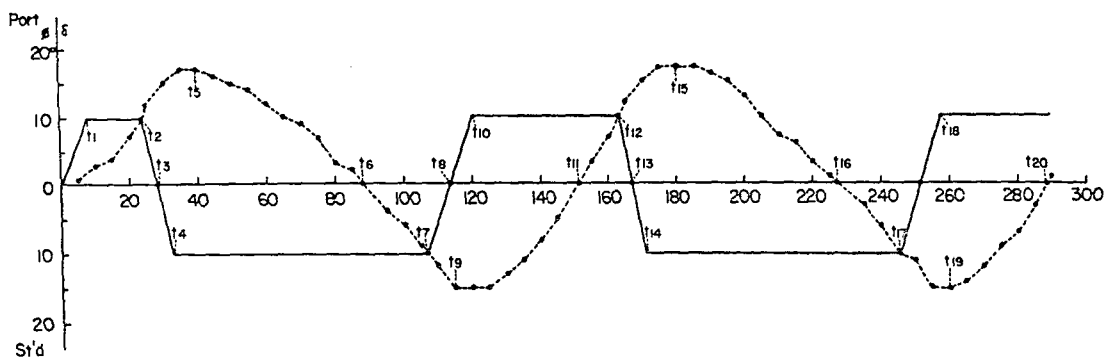


Fig. 1. 10° Z test of the m.s. "SAEBADA".

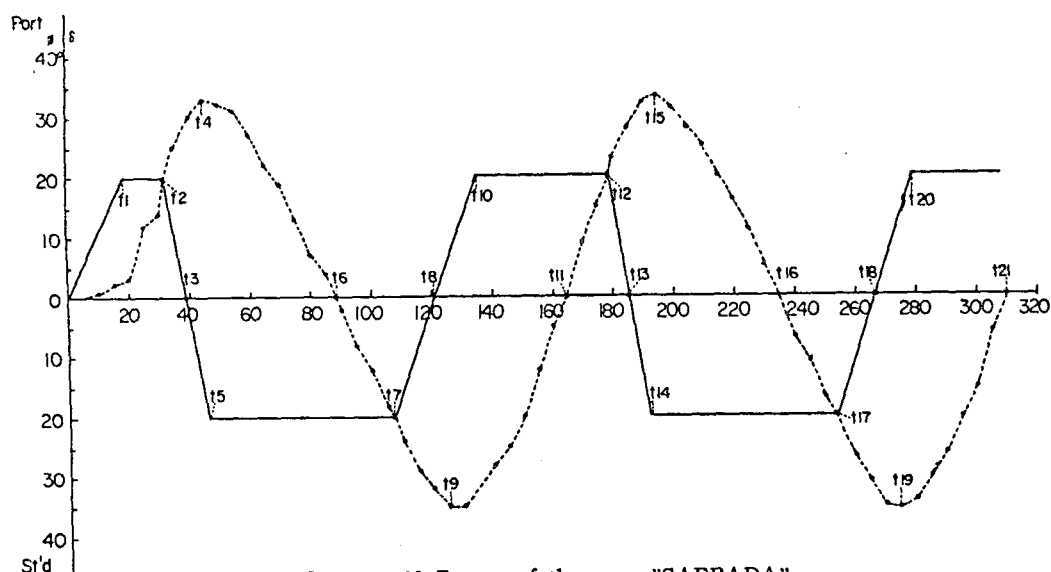


Fig. 2. 20° Z test of the m.s. "SAEBADA".

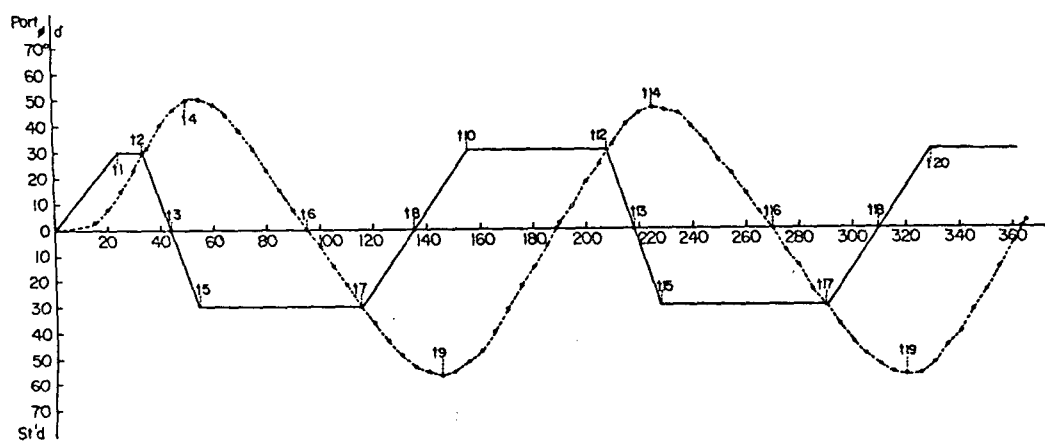


Fig. 3. 30° Z test of the ms. "SAEBADA".

“새마디”號의 探索性能에 關한 研究

1. “새바다”號의 探索性指數 K 및 T

“세바다”號의 採樣性指數 K 및 T 의 數值計算方法은 野本(1972)의 計算方法에 의하여 다음 數式에 의한 方法으로 計算하였다.

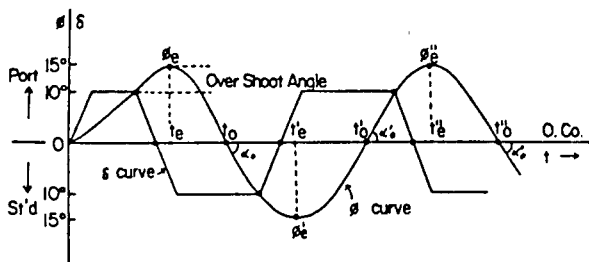


Fig. 4. Curves of Z test

$$\phi_e = K\delta, t_e + KA_e$$

$$\phi'_{\infty} = K\delta_r t'_{\infty} + KA'_{\infty}$$

$$\phi''_s = K\delta, t''_s = KA''_s$$

$$T\phi(t_0) = T \tan \alpha_0 = K\delta_r t_0 + KA_0$$

$$T\phi(t'_0) = T \tan \alpha'_0 = K\delta, t'_0 + KA'_0$$

$$T\phi(t''_0) = T \tan \alpha''_0 = K\delta, t''_0 + KA''_0$$

“새바다”號의 探從性指數 K 및 T 의 計算結果는 Table 6과 같다.

Table 6. Maneuvering Indices, K and T of the M.S. "SAEBADA"

10°Z test		20° Z test		30°Z test	
K	T	K	T	K	T
0.066	13	0.058	8	0.055	7

者 察

操縱性指數 K 는 旋回性指數이며, 操舵한 後 最大旋回角速度의 크기를決定하는 要素로서 K 값이 클수록 旋回角速度는 커고 旋回性이 좋다.

操縱性指數 T 는 追從性指數이며, 探航한 後 最大旋回角速度에 適합 때까지의 時間을 支配하는 要素로서 T 값이 작을 수록 舶에 對한 船體의 追從性이 빠르다.

이와 같이 船舶의 操縱性能은 追從性과 旋回性에
의하여 支配되므로 T 값은 적고 K 값은 큼 수록 좋을
것이나,兩者的關係는 서로 相反되는 性質을 가지
고 있어서一律的으로 이렇게 定하기는 困難하나.
따라서 船舶의 目的에 相應하게 T 값과 K 값을 適切
하게 選擇하여야 한다.

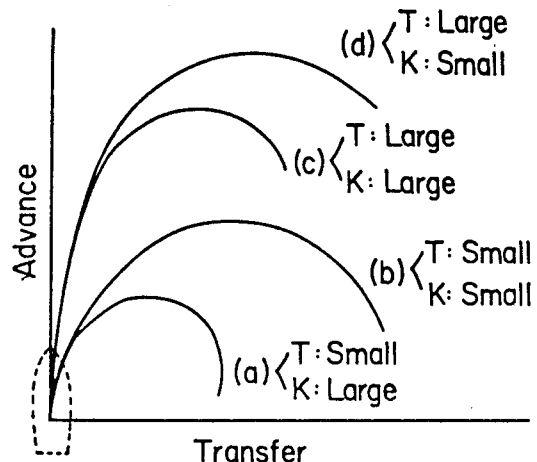


Fig. 5. Four kinds of ship's manoeuvrabilities.

船舶의 操縱을 T , K 에 의하여 分別하면 Fig. 5와 같이 4개의 旋回軌跡型으로 比較할 수 있다.

Fig. 5에서 (a)형은 追從性과 旋回性이 다같이 좋은 船舶이고, (b)형은 追從性은 좋으나 旋回性이 나쁜 船舶, (c)형은 旋回性은 좋으나 追從性이 나쁜 船舶, (d)형은 追從性과 旋回性이 모두 나쁜 船舶입니다.

Table 6의 “세바다”號의 10°Z試驗, 20°Z試驗, 30°Z試驗結果에서 얻은 各 旋回性指數 K 값과 追從性指數 T 값을 比較하여, 採縱舵能을 檢討하여 보면 大舵角을 使用할 때는 小舵角을 使用할 때 보다 追從性은 좋았지나 旋回性은 약간 떨어진다는 것을 알 수 있다.

船舶의 操縱性指數 K 및 T 는 선박의 크기, 船型, 排水狀態와에도 舵角, 速力 및 水深等의 環境條件에 의하여 다르므로, 野本는 操縱性指數 K (單位, sec) 및 T (單位, 1/sec)를 다음과 같이 無次元화하여 表示하고 있다.

단, L : 船体의 長이 (m), V : 船速 (m/sec)

一般的으로 船舶은 肥大船舶이 될 수록 T' 가 커서
追從性이 나쁘고, 反面에 K' 는 커서 旋回性이 좋다.
또 여인船舶이 될 수록 K' 는 적어 旋回性이 나쁜
反面 T' 는 적어 追從性이 좋은 倾向을 가지고 있다.

“세마나號”的 採縱性指數 K 및 T 를 (7)式에 의하여 無次元화한 結果는 Table 7과 같다.

杉原(1970)의 지급까지의試験結果에 따른研究報告에 依하여 $10^{\circ}Z$ 또는 $15^{\circ}Z$ 試験에서 얻은 K' , T' 値가 Table 8의 程度가 되어 平均의 檢査性能을 각

金 基 先

〈記號 說明〉

Table 7. Maneuvering Indices, K' and T' of the M.S. "SAEBADA"

10° Z test		20° Z test		30° Z test	
K'	T'	K'	T'	K'	T'
1.052	0.815	0.925	0.502	0.877	0.441

는다고 한다.

Table 8의 어선($L=60m$)의 K', T' 값과 比較하여 보면, “세마다”號($L=80m$)의 10°Z의 K' 가 1.052이고, T' 가 0.815이므로 이선으로서 良好한 操縱性能을 갖고 있다고 볼 수 있다. 다만 길이와 크기에 비하여 K' 가 약간 작은 數值이므로, 追從性은 良好하나, 旋回性은 약간 낮은 것을 알 수 있다. 또한 이것은 overshoot angle이 약간 큰 것을 알 수 있다.

Table 8. Maneuvering Indices of ships divided into classes

Ship class	C.S. (Full load)	O.T. (Full load)	Fishing boat	Patrol boat
M. Index	$L=100\sim 160m$	$L=150\sim 250m$	$L=60m$	$L=50m$
K'	1.5~2.0	1.7~3.0	1.29	1.66
T'	1.5~2.5	3~6	0.8	1.62

C.S.: Cargo ship O.T.: Oil tanker

Fig. 1의 10°Z의 overshoot angle은 約 7°, Fig. 2의 20°Z의 overshoot angle은 約 13°, Fig. 3의 30°Z의 overshoot angle은 約 20°인데, 筆者가 지금까지 操縱性試驗을 한 船舶으로 $L=85m$, $GT=2500$ 噸級의 船舶의 10°Z의 overshoot angle이 4°~5°, 20°Z의 overshoot angle이 8°~9°, 30°Z의 overshoot angle이 15°~17°에 比하여 “세마다”號의 overshoot angle이 약간 크다. overshoot angle이 크다는 것은 反轉舵에 의하여 船舶의 回頭가 늦어지는 것을 의미하며, 即 旋回性이 나쁘다는 것을 表示한다. Kempf의 提案에 依하면 10°Z試驗에 있어서 試驗의 1操作(Fig. 4에서 時間 t_0)의 사이에 배가 進出하는 航走距離가 大略 배 길이의 5~11倍의 範圍가 되면 總合的으로 良好한 操縱性能을 갖는다고 한다.

“세마다”號의 경우 Fig. 1의 $t_{11}(=t_0)$ 은 Table 3에서 151秒로서 이 時間까지의 航走距離를 計算하면, “세마다”號 배 길이의 約 8.6倍가 되므로 “세마다”號의 操縱性能은 總合的으로 良好하다고 할 수 있다.

L.O.A: Length Over All

B.Md: Breadth Moulded

D.Md: Depth Moulded

df: Fore Draft

da: After Draft

t: 秒單位의 經過時間

S.H: 船首方位

p.t.P: 主要時點

t.i: 時間間隔

K: 旋回性指數

T: 追從性指數

φ: 回頭角

δ: 舵角

δ_r: 舵角誤差

Φ: 角速度

$\phi_s, \phi', \phi'': \phi$ 의 最大值

$t_s, t', t'': \phi$ 가 最大로 되는 時刻

$t_o, t', t'': \phi$ 가 0이 되는 時刻

$A_s(A_0), A'(A'_0), A''(A''_0): t=0$ 부터 시작하여 t_s

$(t_0), t', (t'_0), t'', (t''_0)$

의 各点까지 δ曲線과

t 軸이 만드는 面積

要 約

釜山水產大學實習船 “세마다”號(GT: 2,275.7ton)에 關한 操縱性能을 研究하기 위하여, 實船에 의한 Z操縱試驗을 한 結果를 要約하면 다음과 같다.

1. “세마다”號의 10°Z試驗에서의 旋回性指數 K' 값은 1.052, 追從性指數 T' 값은 0.815, 20°Z試驗에서의 K' 값은 0.925, T' 값은 0.502, 30°Z試驗에서의 K' 값은 0.877, T' 값은 0.441로서, 小舵角使用時의 操縱性能과 大舵角使用時의 操縱性能을 比較하여 보면, 大舵角을 使用한 때 보다 追從性은 증아지나 旋回性은 낮아진다는 것을 알 수 있다.

2. “세마다”號의 10°Z試驗에서의 旋回性指數 K' 값과 追從性指數 T' 값은 漁船의 標準値에 가까움으로 漁船으로서 良好한 操縱性能을 가지고 있다고 볼 수 있다. 다만 길이와 크기에 比하여 K' 값이 약간 적은 數值이며, 10°Z, 20°Z, 30°Z試驗에서의 回頭角曲線의 overshoot angle이 약간 크므로 追從性은 좋으나 旋回性은 낮은 편입을 알 수 있었다.

“새 바다”號의 採縦性能에 關한 研究

3. “새 바다”號의 操縦性能은 逆從性에 比하여 旋回성이 낮으므로 旋回回路도 크게 되며, 또한 大角度轉舵時에는 小角度轉舵時에 比하여 旋回性이 낮아지므로, 衝突이나 坐礁을 回避하기 위하여 大角度轉舵을 한 경우에는 安全限界 接近距離를 크게 두어 船隻避免하는 등 採船上注意를 要한다.
4. “새 바다”號의 $10^{\circ}Z$ 試験에서의 1操作間航走距離는 대 천이의 約 8.6倍로서 一般船舶의 採縦性能과 대비해 5~11倍의 以内가 되므로 “새 바다”號의 採縦性能은 總合적으로 良好하다는 것을 알 수 있다.

文 献

- 元良誠三(1956)：船体運動力學，共立出版社，東京，p. 11-14.
- 野本謙作(1964)：船の操縦性，日本造船協會操縦性シンポジウム，8-22.
- 元良誠三・藤野正隆(1970)：針路不安定な船の特質。日本造船協會操縦性シンポジウム，1970，11,50.
- 藤田齊(1972)：船の方向安定性について。日本造船學會誌 514, 26-27.

- 岩井聰(1977)：操船論，海文堂，東京，p. 11-50.
- 藤井齊・野本謙作(1972)：操縦性試験法，日本造船協會操縦性シンポジウム，1-39.
- 三光汽船海務部(1970)：巨大船の操船上の問題点，成山堂，東京，p. 1-43.
- 日本海難防止協會(1970)：超大型船の操船の手引き。成山堂，東京，p. 25-35.
- 大中雅信(1971)：理論船舶工學(下)，海文堂，東京，p. 251.
- 河田伸一・川元春夫(1966)：サーボおよび自動操縦操作。共立出版社，東京，p. 153-163.
- 杉原意義(1970)：理論運用學(船體運動編)，海文堂，東京，p. 86-116.
- 尹点東(1976)：操縦性指數에 의한 衝突回避動作의 基的把握에 關한 研究。韓國海洋大學論文集 12 (1), 471-480.
- 金光允(1978)：船體運動學의 으로는 衝突回避動作에 關한 研究。漁業技術 14(2), 97-112.
- Philip, Mandel(1976)：Ship Maneuvering and Control(P. N. A), The Society of Naval Architect and Marine Engineers, New York, p. 463-485.